



ESCOLA POLITÉCNICA DA USP
PEF-3309 – Mecânica dos Solo Ambiental

Aula 8

**Propagação de Tensões,
Tensões e deformações e
Elasticidade**

Por que calcular tensões?

- Para prever deslocamentos (recalques, em particular)
- Ações - tensões - deformações - deslocamentos
- Ações típicas em obras geotécnicas \approx
 \approx carregamentos (ou descarregamentos!)

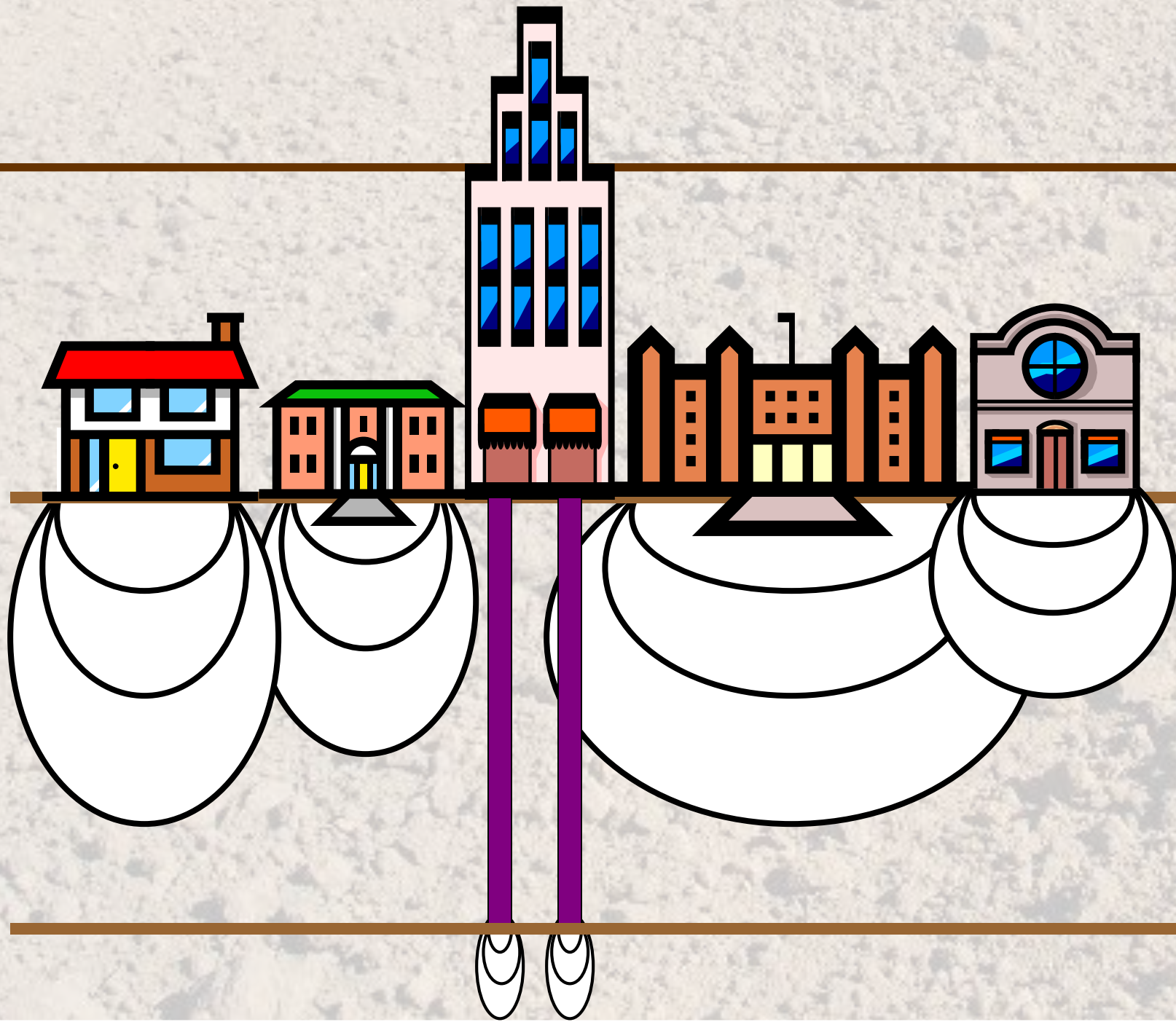
Carregamentos "infinitos"



vertical ($\Sigma \gamma z$)

Carregamentos limitados

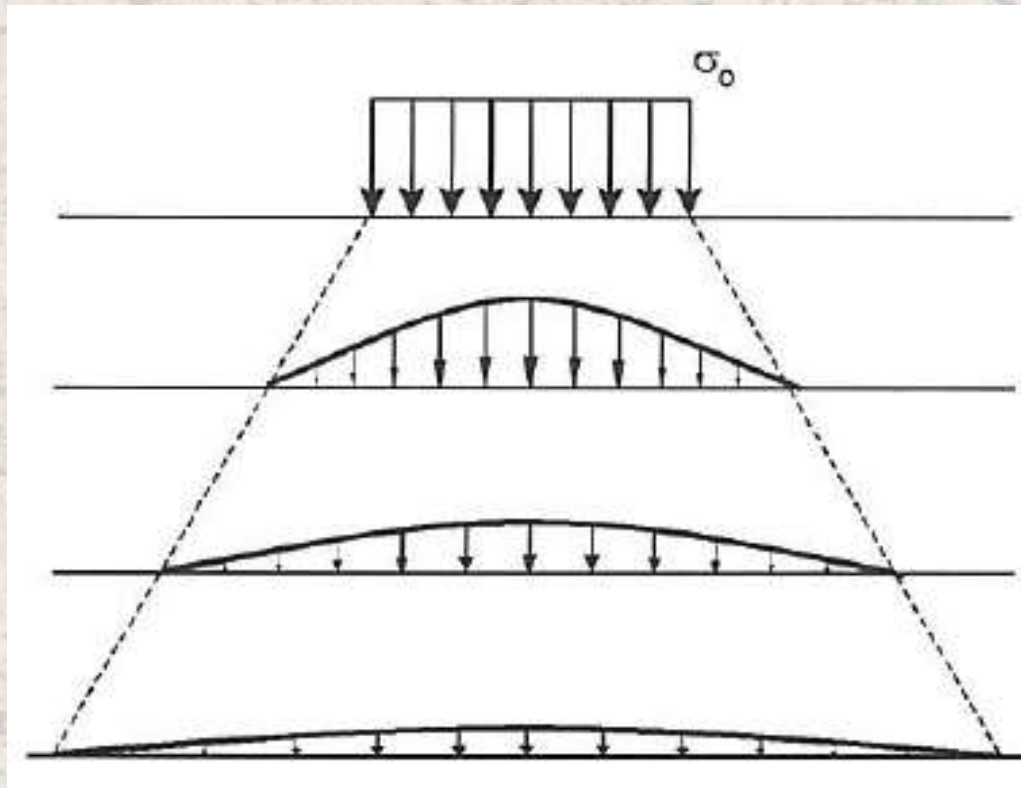
- Tensões se distribuem no maciço e decrescem à medida que aumenta a distância ao carregamento
- Princípio básico para essa distribuição:
EQUILÍBRIO



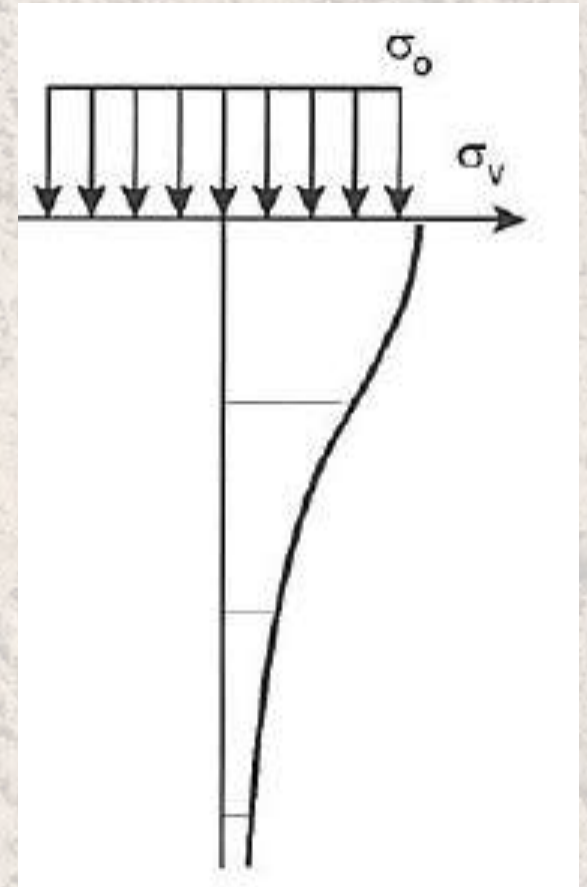
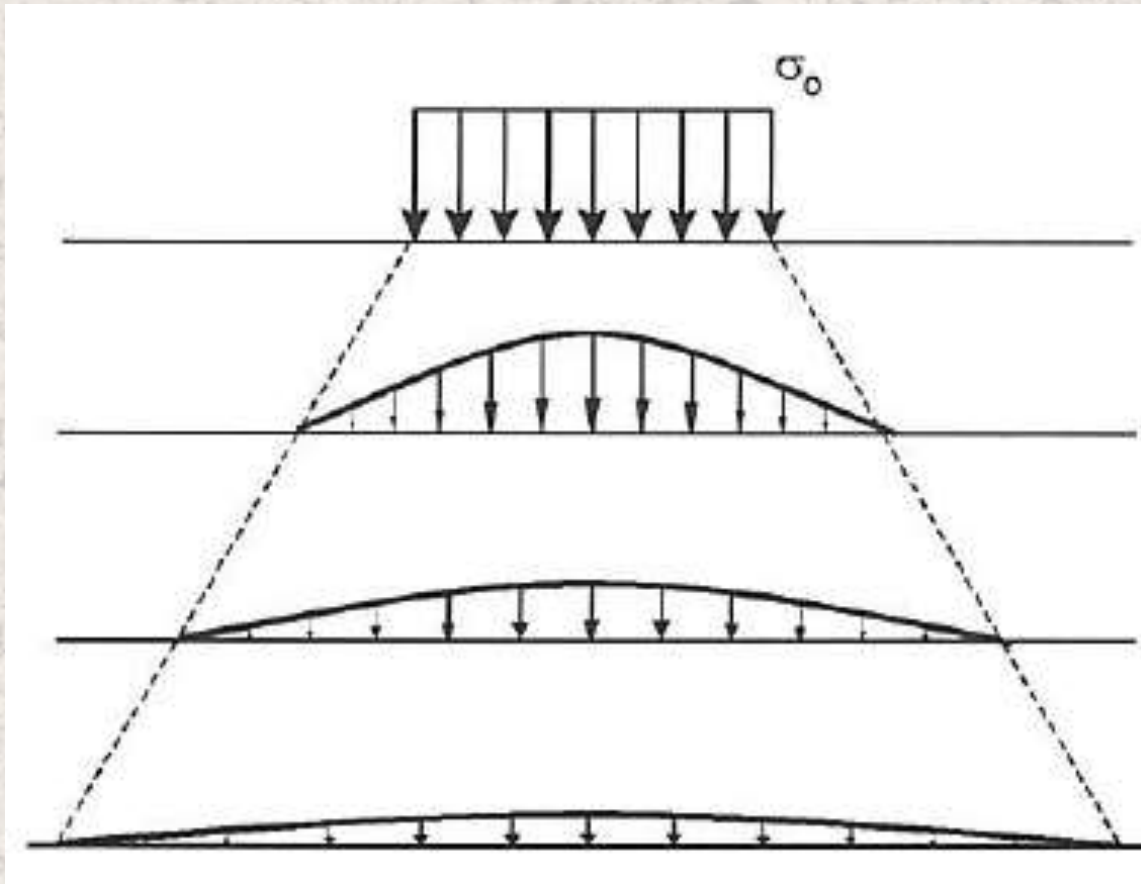
Distribuição de Tensões no Solo



Distribuição de Tensões no Solo



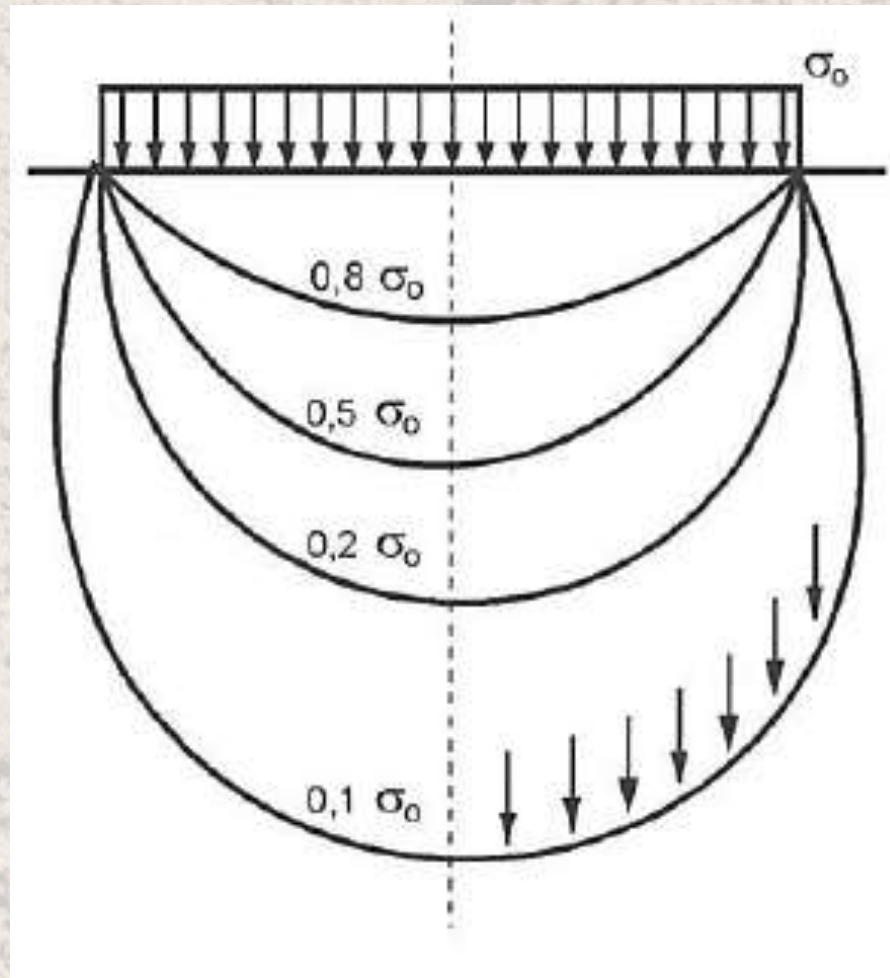
Distribuição de Tensões no Solo



Bulbos



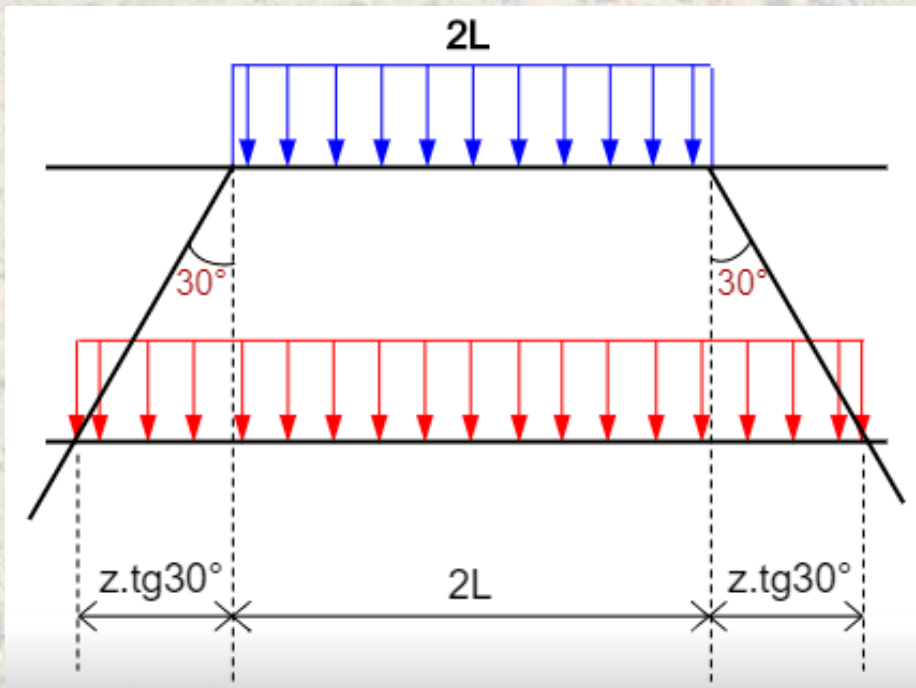
Bulbos



Espraiamento de Tensões



Espraiamento de Tensões

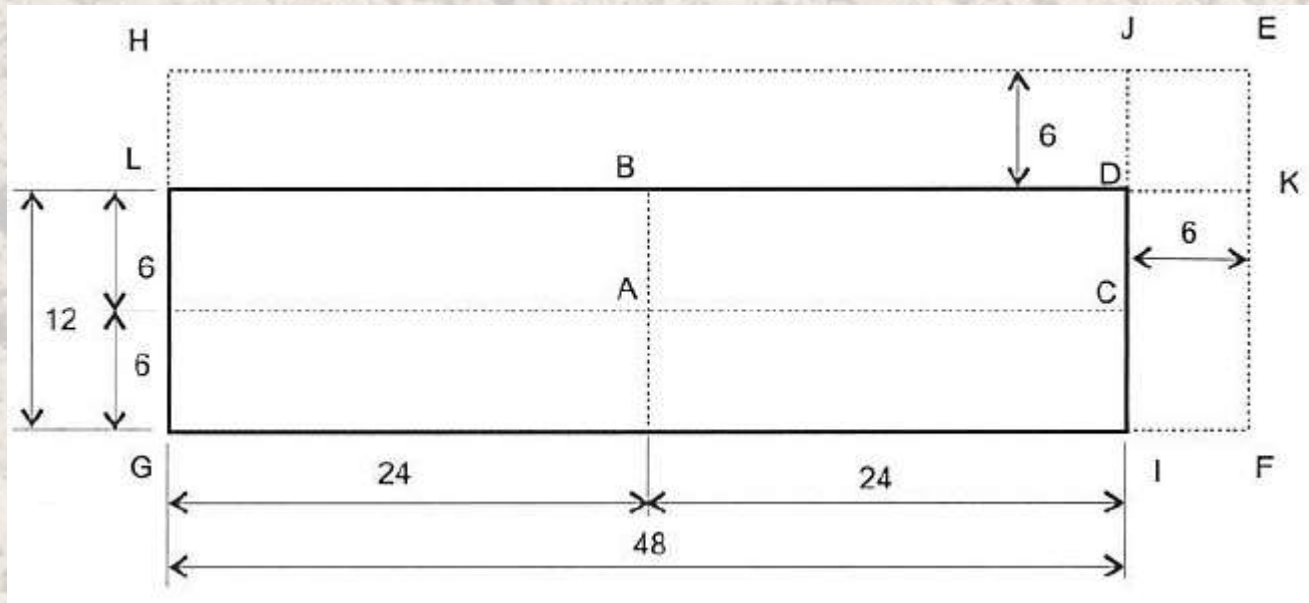


I

$$\sigma_v = \sigma_0 \frac{2L}{2L + 2z \cdot \text{tg}30^\circ}$$

Espraiamento de Tensões - Exemplo

Uma construção industrial apresenta planta retangular conforme figura abaixo. O seu radier vai aplicar uma tensão de 50 kPa no solo. Estime o acréscimo de tensão na vertical em um ponto a 6m de profundidade.

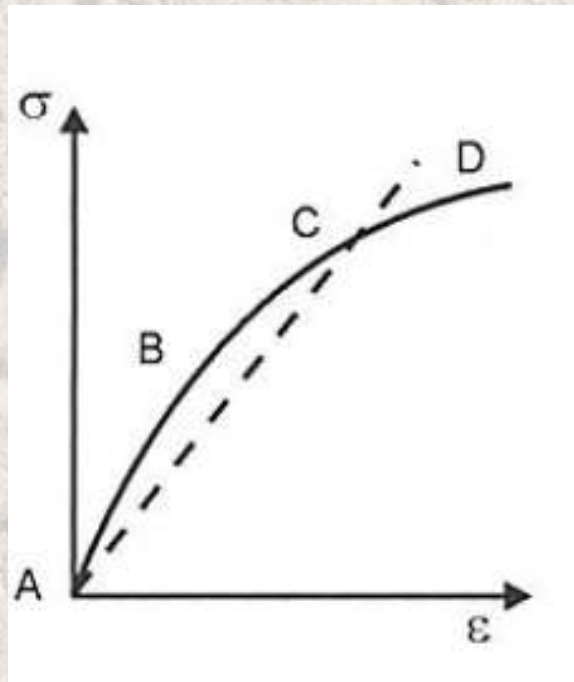
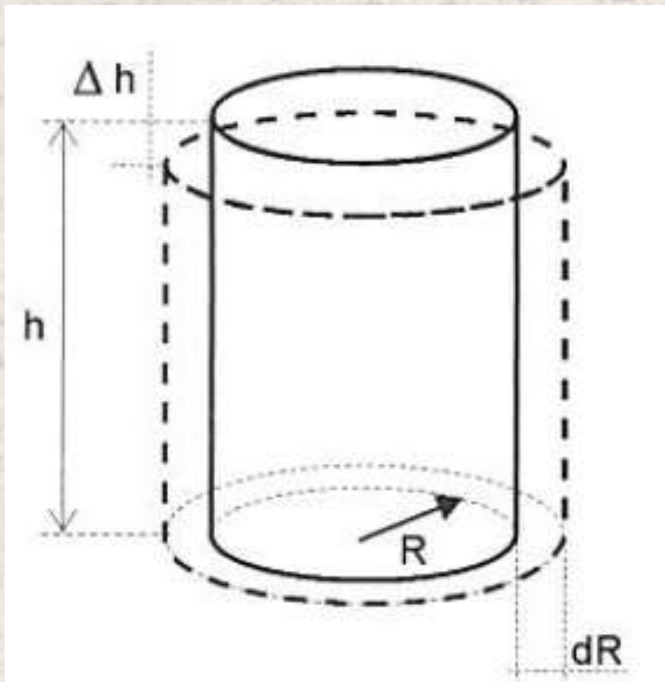


$$\sigma_v = \sigma_0 \cdot \frac{2L}{2L + 2z \cdot \text{tg}30^\circ}$$

$$I = 2 \times 48 / (2 \times 48 + 2 \times 6 \times \text{tg}30^\circ) = 0,93$$

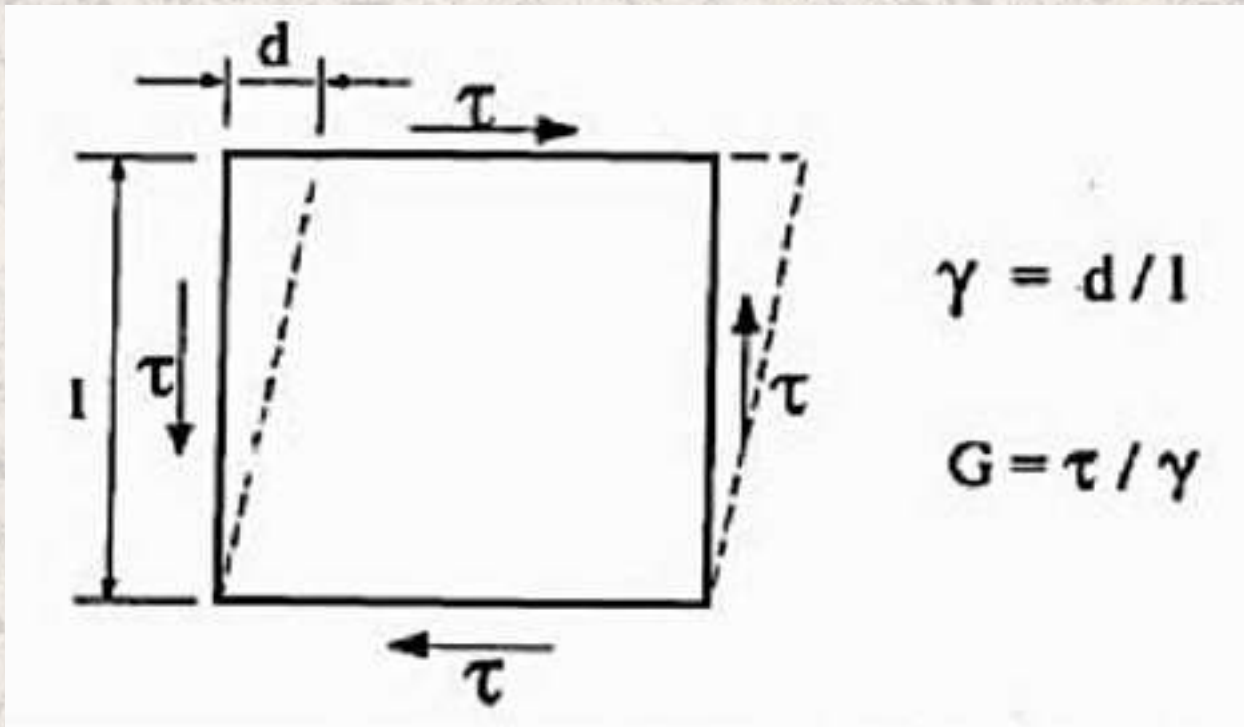
$$\sigma_v = 50 \times 0,93 = 46,6 \text{ kPa}$$

Teoria da Elasticidade

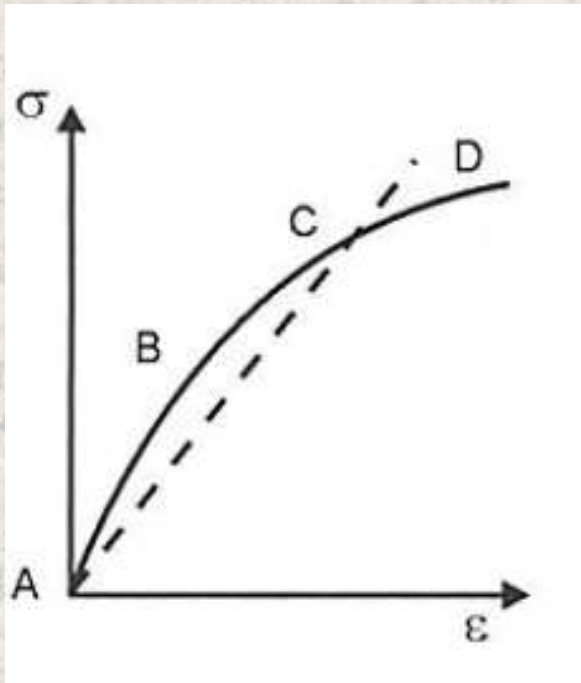


$$\epsilon_l = \frac{\Delta h}{h} \quad \epsilon_r = \frac{\Delta r}{r}$$
$$E = \frac{\sigma}{\epsilon_l}$$
$$\nu = -\frac{\epsilon_r}{\epsilon_l}$$

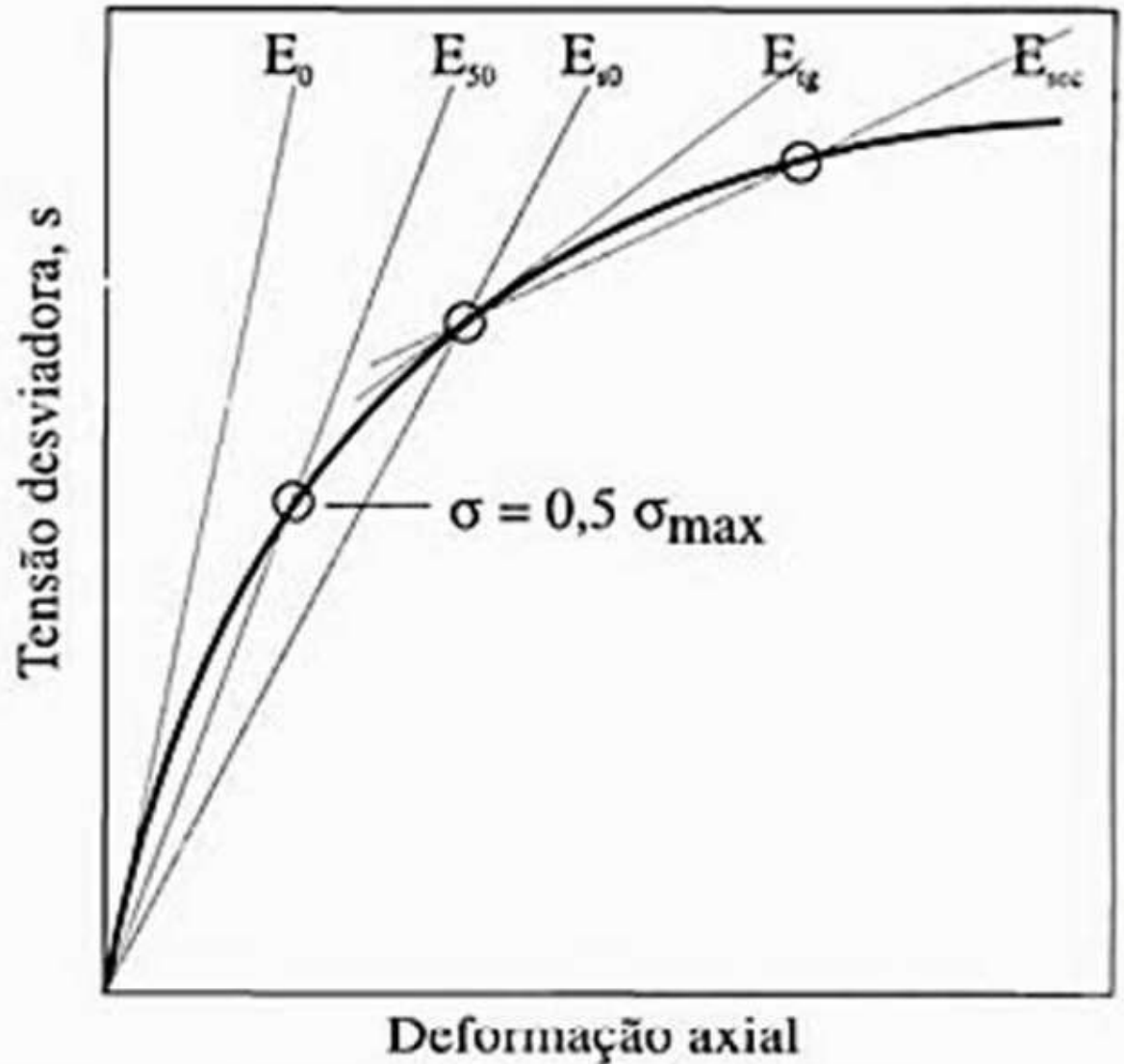
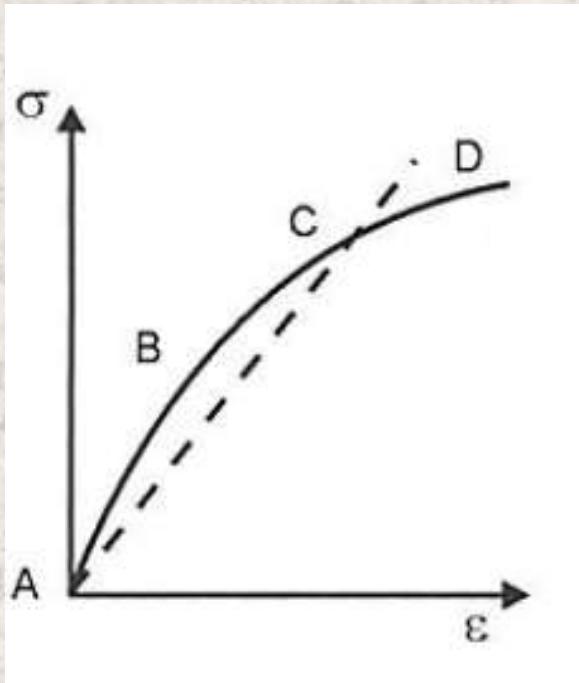
Teoria da Elasticidade



Teoria da Elasticidade - Módulo de Elasticidade (ou de Young)



Teoria da Elasticidade - Módulo de Elasticidade (ou de Young)



Estado de tensão (3D)

- 9 incógnitas (componentes do estado de tensão)
 - apenas 6 incógnitas se levadas em conta as 3 eqs. de equilíbrio de momentos (cisalhamentos iguais: $\tau_{ij} = \tau_{ji}$)

$$\begin{bmatrix} \sigma_X & \tau_{XY} & \tau_{XZ} \\ \tau_{YX} & \sigma_Y & \tau_{YZ} \\ \tau_{ZX} & \tau_{ZY} & \sigma_Z \end{bmatrix}$$

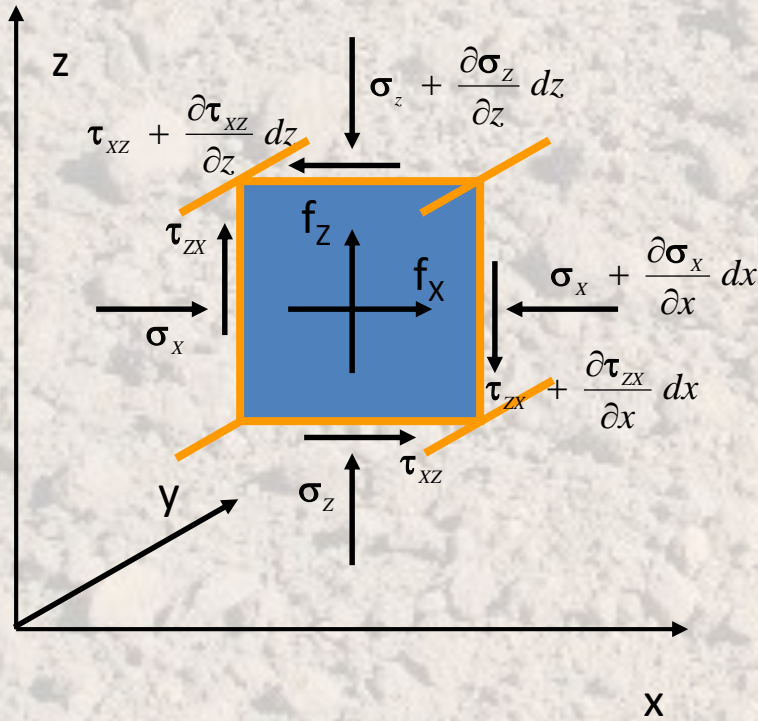
Se for EPT (2D - discutir condições)

- 4 incógnitas (componentes do estado de tensão)
 - apenas 3 incógnitas se levada em conta a eq. de equilíbrio de momentos (cisalhamentos iguais: $\tau_{ij} = \tau_{ji}$)

$$\begin{bmatrix} \sigma_X & \tau_{XZ} \\ \tau_{ZX} & \sigma_Z \end{bmatrix}$$

Equilíbrio

3 equações de equilíbrio de forças em um elemento de solo



$$\frac{\partial \sigma_x}{\partial x} + \frac{\partial \tau_{xy}}{\partial y} + \frac{\partial \tau_{xz}}{\partial z} = f_x$$

$$\frac{\partial \tau_{yx}}{\partial x} + \frac{\partial \sigma_y}{\partial y} + \frac{\partial \tau_{yz}}{\partial z} = f_y$$

$$\frac{\partial \tau_{zx}}{\partial x} + \frac{\partial \tau_{zy}}{\partial y} + \frac{\partial \sigma_z}{\partial z} = f_z$$

Problema hiperestático

- ESTADO DE TENSÃO NO PONTO
- **6 incógnitas** componentes do estado de tensão (já considerando que $\tau_{ij} = \tau_{ji}$)
- EQUILÍBRIO
- **3 equações** de equilíbrio

3 equações, 6 incógnitas

Equações adicionais
Relações tensão-deformação

Definição → estado de
deformação

Estado de deformação (3D)

- + 9 incógnitas (componentes do estado de deformação)
 - 6 incógnitas se levado em conta que $\gamma_{ij} = \gamma_{ji}$

$$\begin{bmatrix} \varepsilon_X & \gamma_{XY} & \gamma_{XZ} \\ \gamma_{YX} & \varepsilon_Y & \gamma_{YZ} \\ \gamma_{ZX} & \gamma_{ZY} & \varepsilon_Z \end{bmatrix}$$

Se for EPD (2D - discutir condições)

- + 4 incógnitas (componentes do estado de deformação)
 - **3 incógnitas** se levado em conta que $\gamma_{ij} = \gamma_{ji}$

$$\begin{bmatrix} \varepsilon_X & \gamma_{XZ} \\ \gamma_{ZX} & \varepsilon_Z \end{bmatrix}$$

Definição das componentes de deformação

$$\epsilon_X = -\frac{\partial u}{\partial x}$$

$$\epsilon_Y = -\frac{\partial v}{\partial y}$$

$$\epsilon_Z = -\frac{\partial w}{\partial z}$$

$$\gamma_{XY} = -\left(\frac{\partial u}{\partial y} + \frac{\partial v}{\partial x}\right) = \gamma_{YX}$$

$$\gamma_{YZ} = -\left(\frac{\partial v}{\partial z} + \frac{\partial w}{\partial y}\right) = \gamma_{ZY}$$

$$\gamma_{ZX} = -\left(\frac{\partial w}{\partial x} + \frac{\partial u}{\partial z}\right) = \gamma_{XZ}$$

Estado de deformação

- + 9 incógnitas (componentes do estado de deformação)
 - 6 incógnitas se levado em conta que $\gamma_{ij} = \gamma_{ji}$
- + 3 incógnitas (deslocamentos nas três direções)
- Observar, porém, que as 6 componentes do estado de deformação são função dos 3 deslocamentos

Compatibilidade

- 6 equações adicionais relacionando as componentes do estado de deformação
- As equações adicionais garantem a compatibilidade entre as 6 deformações (lineares e angulares) e os 3 deslocamentos dos quais elas são derivadas

9 equações, 15 incógnitas

Equações adicionais

Relações tensão-deformação

Relações tensão-deformação

- Elasticidade linear
- Outros modelos
- Aplicabilidade

Elasticidade linear

Relações lineares entre deformações e tensões

$$\varepsilon_X = \frac{1}{E} (\sigma_X - \nu\sigma_Y - \nu\sigma_Z)$$

$$\gamma_{XY} = \frac{\tau_{XY}}{G} = \frac{\tau_{YX}}{G} = \gamma_{YX}$$

$$\varepsilon_Y = \frac{1}{E} (-\nu\sigma_X + \sigma_Y - \nu\sigma_Z)$$

$$\gamma_{YZ} = \frac{\tau_{YZ}}{G} = \frac{\tau_{ZY}}{G} = \gamma_{ZY}$$

$$\varepsilon_Z = \frac{1}{E} (-\nu\sigma_X - \nu\sigma_Y + \sigma_Z)$$

$$\gamma_{ZX} = \frac{\tau_{ZX}}{G} = \frac{\tau_{XZ}}{G} = \gamma_{XZ}$$

E = módulo de Young

ν = coeficiente de Poisson

$$G = \frac{E}{2(1 + \nu)}$$

Soluções do sistema de 15 equações diferenciais a 15 funções incógnitas

- Soluções exatas
 - analíticas
- Soluções aproximadas
 - numéricas
 - MEF
 - MDF
 - MEC

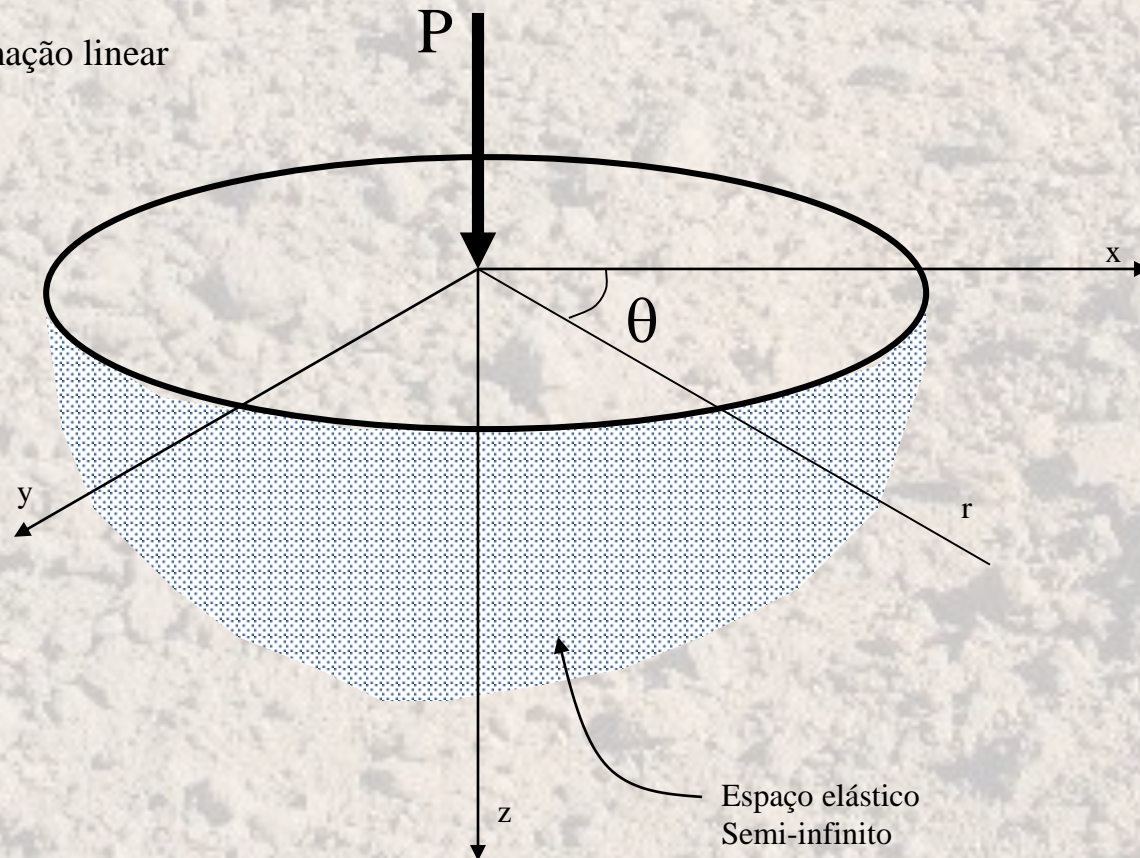
Uso de Teoria da Elasticidade

- Solução de Boussinesq - Carregamento Concentrado
- Extensões da solução de Boussinesq
 - Carregamento Retangular Finito (Solução de Newmark)
 - Carregamento Retangular Infinito - Sapata Corrida (Solução de Carothers e Terzaghi)
 - Carregamento Circular (Solução de Love)
 - Carregamento Triangular Infinito (Solução de Carothers)
 - Qualquer Carregamento (Gráfico de Newmark)
- Soluções diversas - Poulos e Davis (1974)

Propagação de tensões

O Problema de Boussinesq

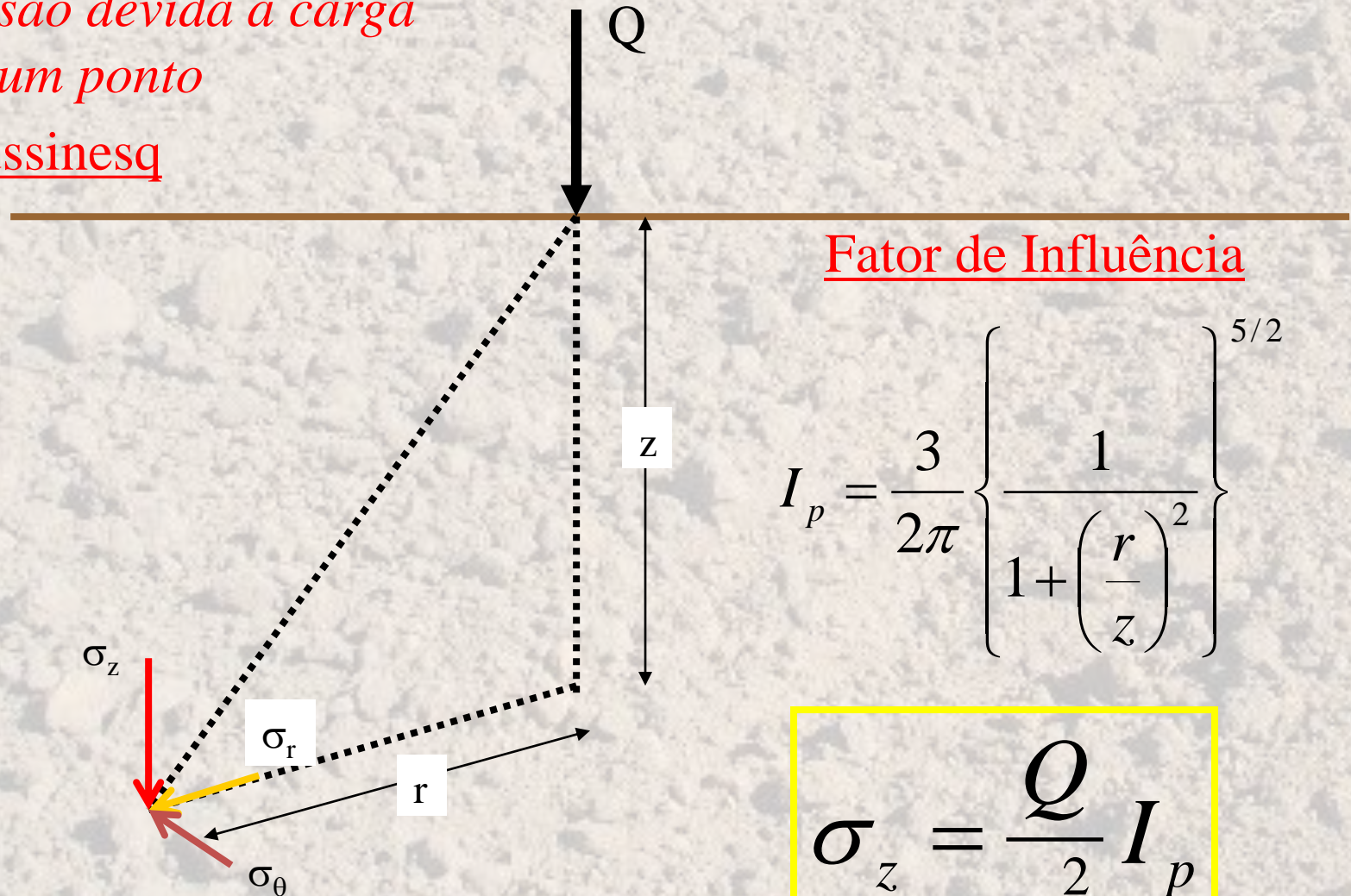
- Espaço semi-infinito
- Material homogêneo
- Massa Isotrópica
- Relação tensão deformação linear



Propagação de tensões

*Tensão devida à carga
em um ponto*

Boussinesq



Fator de Influência

$$I_p = \frac{3}{2\pi} \left\{ \frac{1}{1 + \left(\frac{r}{z}\right)^2} \right\}^{5/2}$$

$$\sigma_z = \frac{Q}{z^2} I_p$$

Carregamento Concentrado - Solução de Boussinesq - EXEMPLO

Um poste de transmissão de energia possui um peso de 50tf. Há uma dutovia que passa a uma profundidade de 5m no eixo deste poste.

Calcular o acréscimo de tensão que o poste causará no solo acima da dutovia, em seu eixo, e a 2m de distância.

$$\sigma_z = \frac{Q}{z^2} I_p$$

$$I_p = 0,48$$

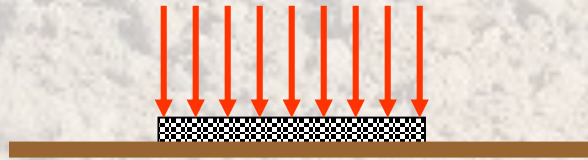
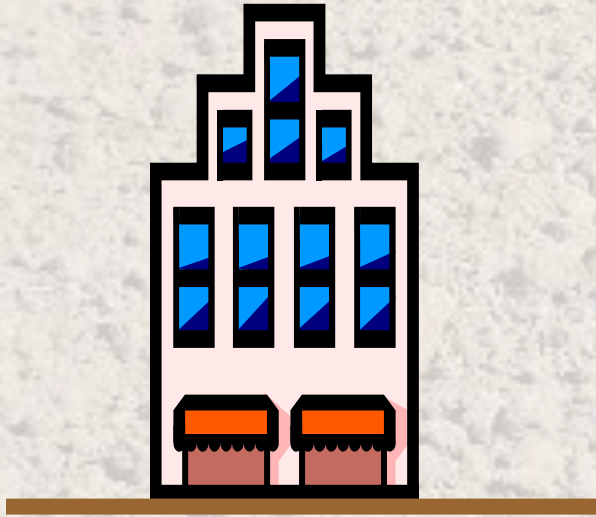
$$\sigma_z = 50 \times 0,48 / 5^2 = 1,0 \text{ tf}$$

$$I_p = \frac{3}{2\pi} \left\{ \frac{1}{1 + \left(\frac{r}{z}\right)^2} \right\}^{5/2}$$

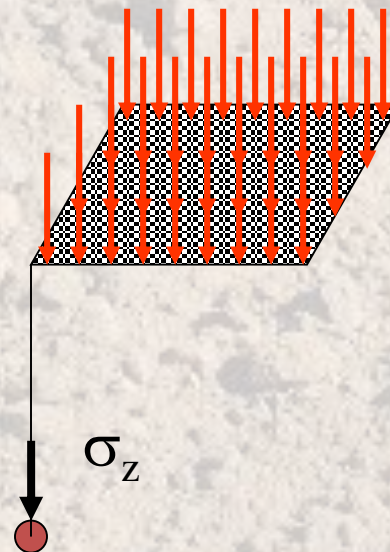
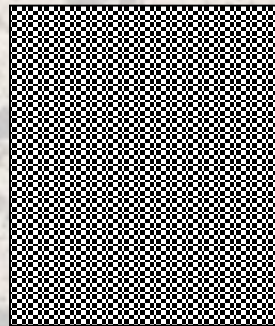
$$I_p = 0,33$$

$$\sigma_z = 50 \times 0,33 / 5^2 = 0,7 \text{ tf}$$

Propagação de tensões

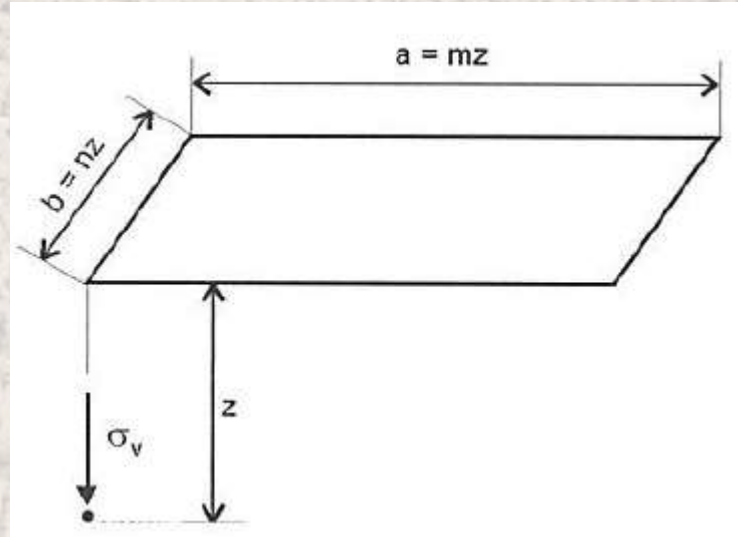


*Tensão vertical no canto
de uma área retangular
uniformemente carregada*



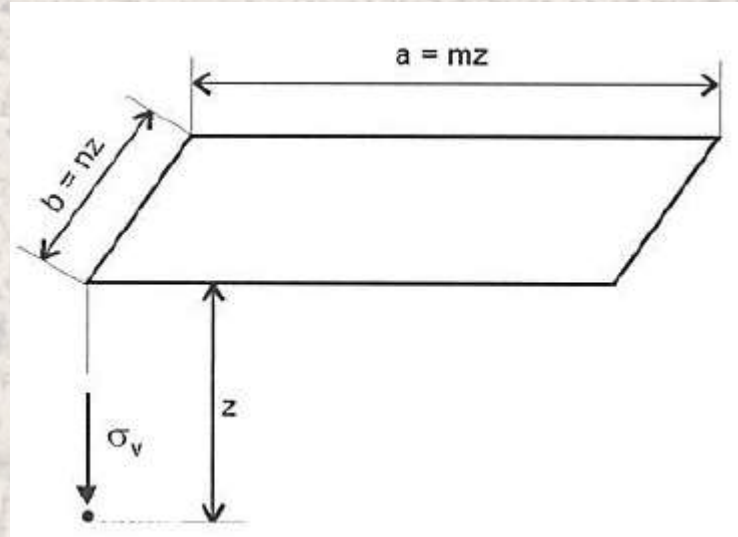
Carregamento Retangular Finito - Solução de Newmark

$$m = \frac{a}{z} \quad \text{e} \quad n = \frac{b}{z}$$



Carregamento Retangular Finito - Solução de Newmark

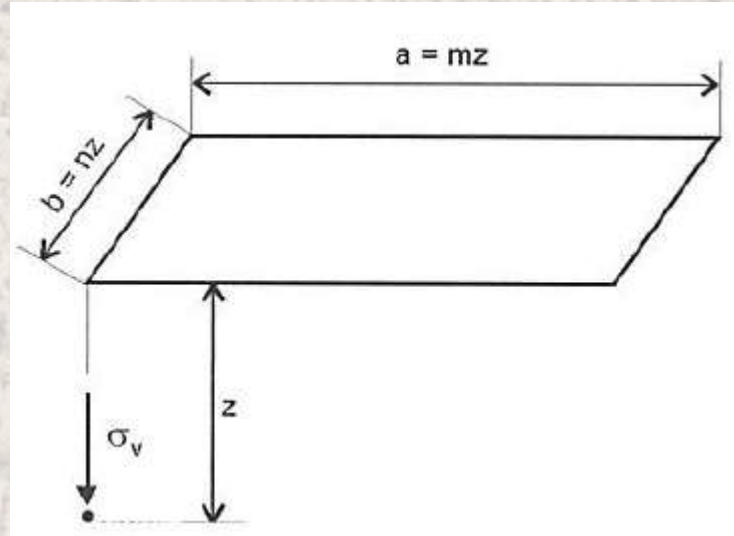
$$m = \frac{a}{z} \quad \text{e} \quad n = \frac{b}{z}$$



$$\sigma_v = \frac{\sigma_o}{4 \cdot \pi} \cdot \left[\frac{[2mn(m^2 + n^2 + 1)^{0.5}](m^2 + n^2 + 2)}{(m^2 + n^2 + 1 + m^2n^2)(m^2 + n^2 + 1)} + \operatorname{arctg} \frac{2mn(m^2 + n^2 + 1)^{0.5}}{m^2 + n^2 + 1 - m^2n^2} \right]$$

Carregamento Retangular Finito - Solução de Newmark

$$m = \frac{a}{z} \quad \text{e} \quad n = \frac{b}{z}$$



$$\sigma_v = \frac{\sigma_o}{4 \cdot \pi} \cdot \left[\frac{[2mn(m^2 + n^2 + 1)^{0,5}](m^2 + n^2 + 2)}{(m^2 + n^2 + 1 + m^2n^2)(m^2 + n^2 + 1)} + \arctg \frac{2mn(m^2 + n^2 + 1)^{0,5}}{m^2 + n^2 + 1 - m^2n^2} \right]$$

$$\sigma_v = 1 \cdot \sigma_o$$

Carregamento Retangular Finito - Solução de Newmark

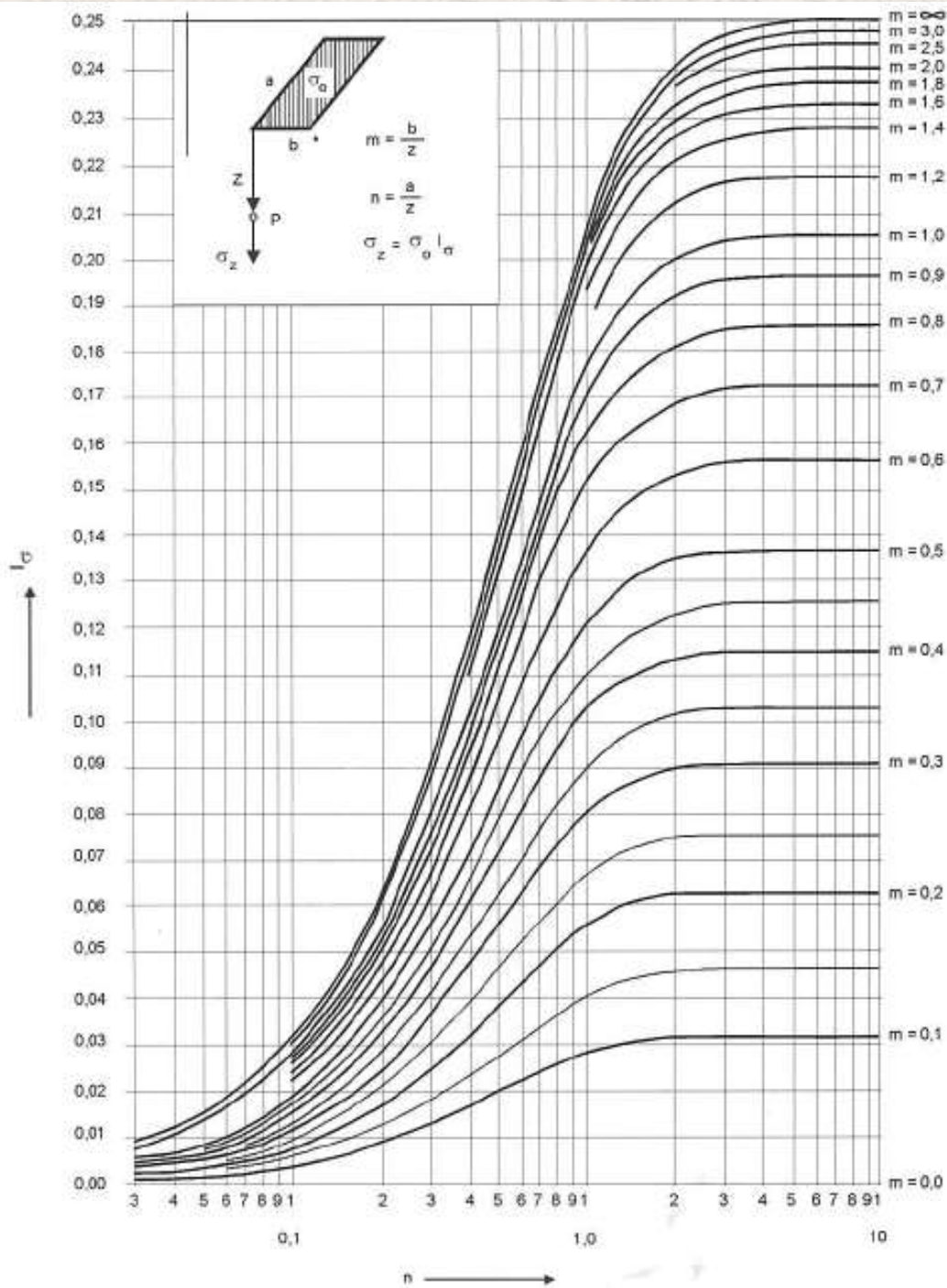
| n ou m | n = a/z ou m = b/z | | | | | | | | |
|----------|--------------------|-------|-------|-------|-------|-------|-------|-------|-------|
| | 0,1 | 0,2 | 0,3 | 0,4 | 0,5 | 0,6 | 0,7 | 0,8 | 0,9 |
| 0,1 | 0,005 | 0,009 | 0,013 | 0,017 | 0,020 | 0,022 | 0,24 | 0,026 | 0,027 |
| 0,2 | 0,009 | 0,018 | 0,026 | 0,033 | 0,039 | 0,043 | 0,047 | 0,050 | 0,053 |
| 0,3 | 0,013 | 0,026 | 0,037 | 0,047 | 0,056 | 0,063 | 0,069 | 0,073 | 0,077 |
| 0,4 | 0,017 | 0,033 | 0,047 | 0,060 | 0,071 | 0,080 | 0,087 | 0,093 | 0,098 |
| 0,5 | 0,020 | 0,039 | 0,056 | 0,071 | 0,084 | 0,095 | 0,103 | 0,110 | 0,116 |
| 0,6 | 0,022 | 0,043 | 0,063 | 0,080 | 0,095 | 0,107 | 0,117 | 0,125 | 0,131 |
| 0,7 | 0,024 | 0,047 | 0,069 | 0,087 | 0,103 | 0,117 | 0,128 | 0,137 | 0,144 |
| 0,8 | 0,026 | 0,050 | 0,073 | 0,093 | 0,110 | 0,125 | 0,137 | 0,146 | 0,154 |
| 0,9 | 0,027 | 0,053 | 0,077 | 0,098 | 0,116 | 0,131 | 0,144 | 0,154 | 0,162 |
| 1,0 | 0,028 | 0,055 | 0,079 | 0,101 | 0,120 | 0,136 | 0,149 | 0,160 | 0,168 |
| 1,2 | 0,029 | 0,057 | 0,083 | 0,106 | 0,126 | 0,143 | 0,157 | 0,168 | 0,178 |
| 1,5 | 0,030 | 0,059 | 0,086 | 0,110 | 0,131 | 0,149 | 0,164 | 0,176 | 0,186 |
| 2,0 | 0,031 | 0,061 | 0,089 | 0,113 | 0,135 | 0,153 | 0,169 | 0,181 | 0,192 |
| 2,5 | 0,031 | 0,062 | 0,090 | 0,115 | 0,137 | 0,155 | 0,170 | 0,183 | 0,194 |
| 3,0 | 0,032 | 0,062 | 0,090 | 0,115 | 0,137 | 0,156 | 0,171 | 0,184 | 0,195 |
| 5,0 | 0,032 | 0,062 | 0,090 | 0,115 | 0,137 | 0,156 | 0,172 | 0,185 | 0,196 |
| 10,0 | 0,032 | 0,062 | 0,090 | 0,115 | 0,137 | 0,156 | 0,172 | 0,185 | 0,196 |
| ∞ | 0,032 | 0,062 | 0,090 | 0,115 | 0,137 | 0,156 | 0,172 | 0,185 | 0,196 |

Carregamento Retangular Finito - Solução de Newmark

| n ou m | n = a/z ou m = b/z | | | | | | | | |
|----------|--------------------|-------|-------|-------|-------|-------|-------|-------|----------|
| | 1,0 | 1,2 | 1,5 | 2,0 | 2,5 | 3,0 | 5,0 | 10,0 | ∞ |
| 0,1 | 0,028 | 0,029 | 0,030 | 0,031 | 0,031 | 0,032 | 0,032 | 0,032 | 0,032 |
| 0,2 | 0,055 | 0,057 | 0,059 | 0,061 | 0,062 | 0,062 | 0,062 | 0,062 | 0,062 |
| 0,3 | 0,079 | 0,083 | 0,086 | 0,089 | 0,090 | 0,090 | 0,090 | 0,090 | 0,090 |
| 0,4 | 0,101 | 0,106 | 0,110 | 0,113 | 0,115 | 0,115 | 0,115 | 0,115 | 0,115 |
| 0,5 | 0,120 | 0,126 | 0,131 | 0,135 | 0,137 | 0,137 | 0,137 | 0,137 | 0,137 |
| 0,6 | 0,136 | 0,143 | 0,149 | 0,153 | 0,155 | 0,156 | 0,156 | 0,156 | 0,156 |
| 0,7 | 0,149 | 0,157 | 0,164 | 0,169 | 0,170 | 0,171 | 0,172 | 0,172 | 0,172 |
| 0,8 | 0,160 | 0,168 | 0,176 | 0,181 | 0,183 | 0,184 | 0,185 | 0,185 | 0,185 |
| 0,9 | 0,168 | 0,178 | 0,186 | 0,192 | 0,194 | 0,195 | 0,196 | 0,196 | 0,196 |
| 1,0 | 0,175 | 0,185 | 0,193 | 0,200 | 0,202 | 0,203 | 0,204 | 0,205 | 0,205 |
| 1,2 | 0,185 | 0,196 | 0,205 | 0,212 | 0,215 | 0,216 | 0,217 | 0,218 | 0,218 |
| 1,5 | 0,193 | 0,205 | 0,215 | 0,223 | 0,226 | 0,228 | 0,229 | 0,230 | 0,230 |
| 2,0 | 0,200 | 0,212 | 0,223 | 0,232 | 0,236 | 0,238 | 0,239 | 0,240 | 0,240 |
| 2,5 | 0,202 | 0,215 | 0,226 | 0,236 | 0,240 | 0,242 | 0,244 | 0,244 | 0,244 |
| 3,0 | 0,203 | 0,216 | 0,228 | 0,238 | 0,242 | 0,244 | 0,246 | 0,247 | 0,247 |
| 5,0 | 0,204 | 0,217 | 0,229 | 0,239 | 0,244 | 0,246 | 0,249 | 0,249 | 0,249 |
| 10,0 | 0,205 | 0,218 | 0,230 | 0,240 | 0,244 | 0,247 | 0,249 | 0,250 | 0,250 |
| ∞ | 0,205 | 0,218 | 0,230 | 0,240 | 0,244 | 0,247 | 0,249 | 0,250 | 0,250 |

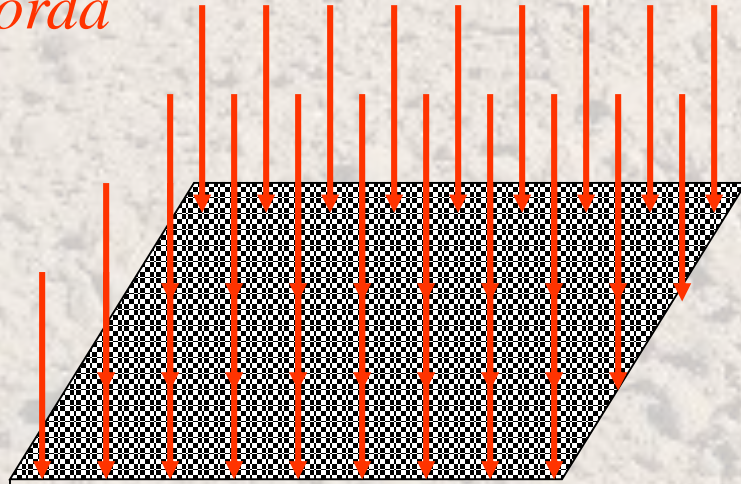
Carr

infinite -

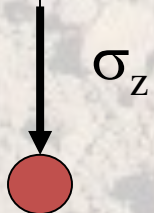


Propagação de tensões

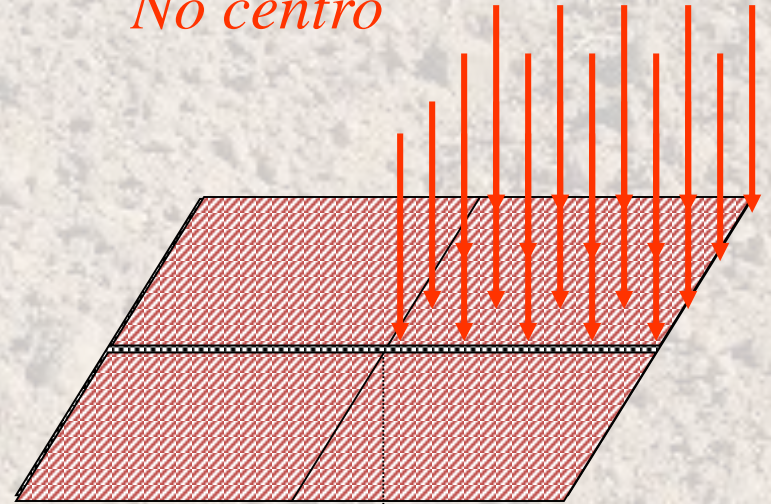
Na borda



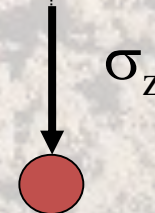
$$\sigma_z = q * I_r$$

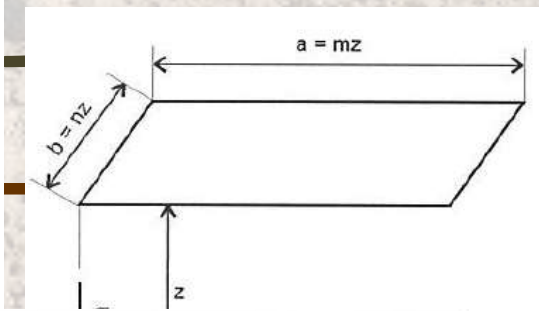
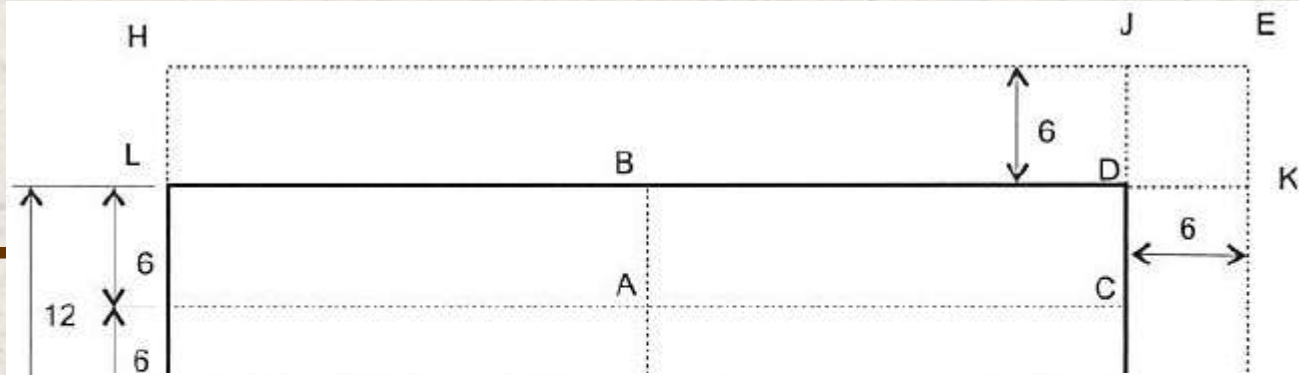


No centro



$$\sigma_z = 4 * q * I_r$$





| | | $n = a/z$ ou $m = b/z$ | | | | | | | | | |
|----------|-------|------------------------|-------|-------|-------|-------|-------|-------|-------|----------|-------|
| | | 1,0 | 1,2 | 1,5 | 2,0 | 2,5 | 3,0 | 5,0 | 10,0 | ∞ | |
| P_{OI} | $m :$ | 0,1 | 0,028 | 0,029 | 0,030 | 0,031 | 0,031 | 0,032 | 0,032 | 0,032 | 0,032 |
| | | 0,2 | 0,055 | 0,057 | 0,059 | 0,061 | 0,062 | 0,062 | 0,062 | 0,062 | 0,062 |
| | | 0,3 | 0,079 | 0,083 | 0,086 | 0,089 | 0,090 | 0,090 | 0,090 | 0,090 | 0,090 |
| | | 0,4 | 0,101 | 0,106 | 0,110 | 0,113 | 0,115 | 0,115 | 0,115 | 0,115 | 0,115 |
| | | 0,5 | 0,120 | 0,126 | 0,131 | 0,135 | 0,137 | 0,137 | 0,137 | 0,137 | 0,137 |
| | | 0,6 | 0,136 | 0,143 | 0,149 | 0,153 | 0,155 | 0,156 | 0,156 | 0,156 | 0,156 |
| | | 0,7 | 0,149 | 0,157 | 0,164 | 0,169 | 0,170 | 0,171 | 0,172 | 0,172 | 0,172 |
| | | 0,8 | 0,160 | 0,168 | 0,176 | 0,181 | 0,183 | 0,184 | 0,185 | 0,185 | 0,185 |
| | | 0,9 | 0,168 | 0,178 | 0,186 | 0,192 | 0,194 | 0,195 | 0,196 | 0,196 | 0,196 |
| | | 1,0 | 0,175 | 0,185 | 0,193 | 0,200 | 0,202 | 0,203 | 0,204 | 0,205 | 0,205 |
| P_{OI} | $m :$ | 1,2 | 0,185 | 0,196 | 0,205 | 0,212 | 0,215 | 0,216 | 0,217 | 0,218 | 0,218 |
| | | 1,5 | 0,193 | 0,205 | 0,215 | 0,223 | 0,226 | 0,228 | 0,229 | 0,230 | 0,230 |
| | | 2,0 | 0,200 | 0,212 | 0,223 | 0,232 | 0,236 | 0,238 | 0,239 | 0,240 | 0,240 |
| | | 2,5 | 0,202 | 0,215 | 0,226 | 0,236 | 0,240 | 0,242 | 0,244 | 0,244 | 0,244 |
| | | 3,0 | 0,203 | 0,216 | 0,228 | 0,238 | 0,242 | 0,244 | 0,246 | 0,247 | 0,247 |
| | | 5,0 | 0,204 | 0,217 | 0,229 | 0,239 | 0,244 | 0,246 | 0,249 | 0,249 | 0,249 |
| | | 10,0 | 0,205 | 0,218 | 0,230 | 0,240 | 0,244 | 0,247 | 0,249 | 0,250 | 0,250 |
| | | ∞ | 0,205 | 0,218 | 0,230 | 0,240 | 0,244 | 0,247 | 0,249 | 0,250 | 0,250 |

Propagação de tensões

Aplicabilidade da Teoria da Elasticidade

Para cálculo de tensões

- ✓ Massa homogênea – Quando as condições de contorno do problema analítico se aproxima das condições de contorno “in situ”, a distribuição de tensões no campo são comparáveis àquelas obtidas pela análise linear elástica.

Para cálculo de deslocamentos

- ✓ O cálculo de deslocamentos depende mais diretamente da natureza da lei constitutiva e das magnitudes dos parâmetros utilizados, desta forma, a habilidade da teoria da elasticidade em prever deslocamentos depende, de forma mais marcante, da não linearidade e da heterogeneidade do material “in situ”.